

弗氏旋轉台用法說明

何作霖
著

56.717

國立中央研究院地質研究所印行

29

1933

版 權 所 有

著 作 者

發 行 者

銷 售 處

何 作 霖

中 央 研 究 院 地 質 研 究 所

南 京 成 賢 街 本 院

弗氏旋轉台用法說明

何作霖著

目 錄

	頁
一. 引言	1
二. 礦物光性略說	2
三. 礦物消光之意義	4
四. 球體平面投影圖及其用法	6
五. 旋轉台之構造	8
六. 旋轉台使用前之預備及校正法	10
七. 礦物晶系之鑑別法	12
八. 光學對稱軸之測法	16
九. 光軸角之測法	21
十. 長石鑑別法	25
十一. 測驗之差誤及長石鑑別之難易	36

一 引 言

弗氏 (von Fedorow) 旋轉台為研究礦物光性之利器。吾人鑑定岩石薄片內之礦物，因普通顯微鏡祇可使切片平行轉動，必將同種礦物之各個切面盡行觀察，偶得一合於光性方位之切面 (oriented section) 始可據之以定判斷。倘所遇之礦物切面無一合於光性方位者，則難作鑑定之標準；結果不能真實且各個切面外貌雖甚相似，而光性容或稍有出入，以此衡彼，當然含有不少誤謬，此鑑定長石時所常有之情形也。若遇稀罕礦物，切面不多，更難與以選擇之機會，普通顯微鏡已失其效用。

旋轉台除平行轉動外，更可使礦物切面任意傾側以合於光性方位。不但可省切面選擇之煩，更可免去因切面頻頻遞換

所生之錯誤。用法雖略涉繁複，實為一最省時間之工具。此器發明迄今已三十餘年，近來用途漸廣，一九二八年愛孟氏（R. C. Emmons）又利用此器以指示液測驗礦物之折光率，並將此器更為改良，亦此器用途上之一大進步。茲略述旋轉台之原理與用法，俾初學者得一梗概。

二 矿物光性略說

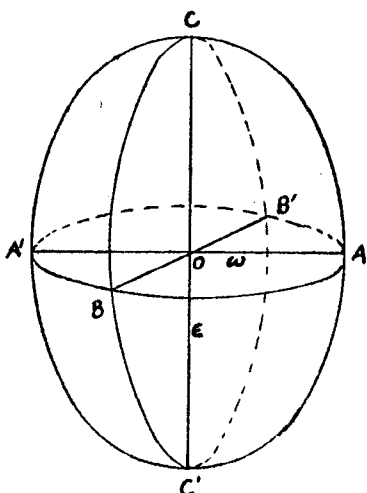
矿物就光性上言可分為兩大類：

(一) 均質礦物 (Isotropic minerals). 矿物之各部份具有同一之光性，對於光波之擺動任何方向皆無難易之分，速度亦各相等，其光學上之關係可以一球體表示之。換言之即無論光線射入之方向如何，其光波面永為一球形，故折光率只有一個。凡非晶質（如玻璃蛋白石等）與等軸晶系之矿物皆屬之。

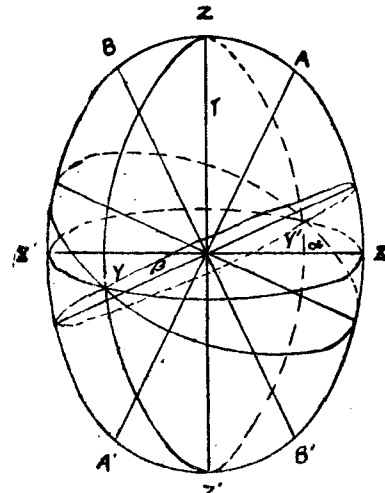
(二) 非均質礦物 (anisotropic minerals). 矿物之各部份具不同之光性，光波擺動因方向而有難易之分，速度各有大小，故折光率不只一個。此類矿物又可分為(A)一軸晶與(B)二軸晶。

(A) 一軸晶包含正方晶系與六方晶系矿物。其光學上之關係可以一橢圓體 (ellipsoid of revolution) 表示之（第一圖）。O C 為光軸，平行於矿物之直立結晶軸。光線射入之方向如平行於光軸時，光波在 A B A' B' 平面內擺動無遲速之分，且無一定方位，與均質矿物同。但光線射入之方向如斜交於光軸，則光波擺動之方向經偏光作用 (effect of polarization) 一則限制於垂直於光軸的平面內（即 A B A' B' 平面），一則限制於光軸與射入方向所成之平面內，兩光波互相正交，具不等之速度。在 A B A' B' 平面者為常光線 (ordinary ray)，其速度不因射入角之大小而變，折光率永為 ω ，因 A B A' B' 切面為一圓形。其他一光波名曰非常光線 (extraordinary ray) 則視射入角之大小速度有變更，殆射入光線垂直於光軸時，此光波擺動之方向即平行於光軸 O

C, 此時折光率為 ϵ 。 ω 與 ϵ 之關係視礦物之種類而不同，如 $\epsilon > \omega$ ，礦物為正光性(+)； $\omega > \epsilon$ ，礦物為負光性(-)。



第一圖



第二圖

(B) 二軸晶包含斜方單斜與三斜晶系礦物。二軸晶礦物皆有一最小折光率(α)中級折光率(β)，與最大折光率(γ)。 α β γ 名為主折光率。意即光波擺動之速度有最大最小與中級三種也。其光學上之關係可以一扁橢圓體表示之(第二圖)。O Z, O X, O Y 為扁橢圓體之三主軸名曰光學對稱軸(optic symmetry axis)。光波之速度在 O Z 方向為最小，O X 方向為最大，O Y 方向為中級。每兩軸合成一平面，名為光學對稱面(optic symmetry plane)。在斜方晶系礦物內各主軸與各結晶軸相合；單斜系礦物內，光學對稱面之一與晶體對稱面(010)相合，故有一主軸與一晶軸(b)相合；三斜晶系礦物內各主軸皆不與結晶軸相合，其關係視礦物之種類而有不同。

光線射入之方向平行於 O X 時，光波擺動之方向一緣 O Z，折光率為 γ ，一緣 O Y，折光率為 β ；射入之方向平行於 O Y，光波擺動之方向一緣 O Z，折光率為 γ ，一緣 O X 折光率為 α ；射入之方向平行於 O Z 時，光波擺動之方向一緣 O X，折光率為 α ，

一線 OY，折光率爲 β 。射入之方向如平行於一個光學對稱面時，其光波擺動之方向一則限制於此入射面內與射入方向正交，一則限制於其餘二面之交線上；兩波互相正交，具不等之速度。但平行於 XZX'Z' 面時可有兩個射入方向 (AA' 與 BB') 不發生光波上速度之差，即折光率爲 β ，乃因垂直於 AA' 或 BB' 之切面各爲一圓，其半徑等於 OY。AA' 與 BB' 皆稱光軸。XZX'Z' 又稱光軸面 (optic axial plane)。兩光軸所成之角名光軸角 (optic axial angle)，小於 90° 者曰銳角，大於 90° 者曰鈍角。平分銳角之軸爲銳角等分線 (acute bisectrix)，平分鈍角者爲鈍角等分線 (obtuse bisectrix)。普通光軸角皆標記其小於 90° 者，故銳角等分線有時爲 OZ，有時爲 OX。如銳角等分線爲 OZ，礦物之光性爲正 (+)，銳角等分線爲 OX，光性爲負 (-)。光軸角可以下列公式計算之。

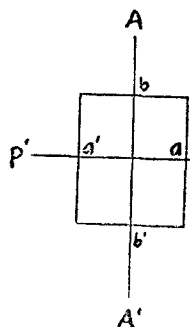
$$\tan V = \sqrt{\frac{\frac{1}{\alpha^2} - \frac{1}{\beta^2}}{\frac{1}{\beta^2} - \frac{1}{\gamma^2}}} \quad 2V = \text{光軸角}.$$

三 矿物消光之意義

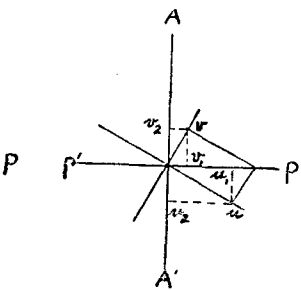
均質礦物因對於光波之擺動任何方向皆無難易之分，且其擺動之方向亦無所限制，任何方向之切面置於正交偏光鏡間不能影響於光波擺動之方向，永呈黑暗不透明之象；且切面任何傾側與轉動亦不生影響，故其消光方向爲無限。

非均質礦物對於光波之擺動則大有差別。緣光軸射入之光線其光波擺動之方向爲無限；而對於其他方向射入之光線，則光波擺動之方向經偏光作用必限制於一定的兩個方向之內，彼此互爲正交，故切面(除垂直於光軸者)置於偏光鏡間轉動時即有明暗之分。光波擺動之方向平行於偏光鏡時，則成消光，如第三圖，bb' 與 aa' 為切面上光波擺動之方向，AA' 與 PP' 為

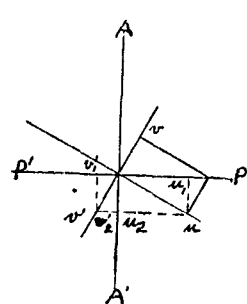
偏光鏡方向。彼此互相平行設平轉切面使光波擺動方向斜交於偏光鏡時，則由下偏光鏡所來之光線至切面即分為二，及至



第三圖



第四圖



第五圖

上偏光鏡又各分為二，其平行於上偏光鏡方向者則通過射出，其垂直者則由全反射作用消滅。倘切面對於光波之擺動有難易之別，故經過切面後之光波即起象差 (Phasal difference)，如其差為 $N\lambda$ (λ 為波長， N 為整數) 則光波自 O 點同時齊發，一分為 ov ，一為 ou ，(第四圖) 既至上偏光鏡又各分為二， ov_1, ov_2, ou_1 與 ou_2 。 ov_1 與 ou_1 由全反射消滅， ov_2 與 ou_2 透過偏光鏡，但因其方向相反，結果兩相抵消而呈黑暗，惟此黑暗並非消光現象，乃由象差而起。

如象差為 $\frac{1}{2}\lambda$ 或 $\frac{2N+1}{2}\lambda$ ，(第五圖) 一波自 o 出發至 v 而復歸於 o 點時，其他一波方至 o 點，殆前者行至 v' ，後者始達於 u 。既至遇上偏光鏡又各分為二， ov'_1 與 ou_1 由全反射而消滅， ov'_2 與 ou_2 兩波透過，惟因其方向相同，結果相加而生光色。可見射入之光如用白光時，包含各種波長，其結果必有光色可見。

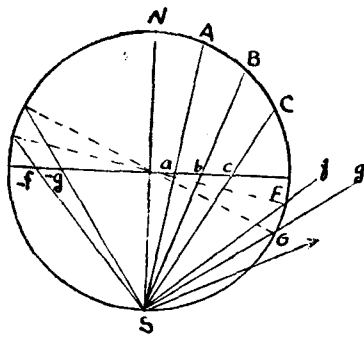
一軸晶對於光波擺動之方向有二(除平行於光軸之射入光線)，一在光軸與射入方向所成之平面內，一在垂直於光軸之平面內。故在一軸晶之任何切面(除垂直於光軸之切面)上其消光方向一為光軸投影於切面上之方向，一則垂直於此。

二軸晶因有三個光學對稱面互相正交，故凡平行於一面之射入光線，光波擺動方向亦必限制於光學對稱面內；換言之

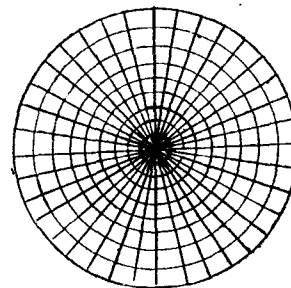
在垂直或平行於光學對稱面之切面上，其消光位必為光學對稱面交於切面上之方向也。但在斜交於光學對稱面之切面上，其消光位則不為切面與光學對稱面所交之方向矣，據 Biot-Fressel 定律應為切面與二平面相交之線，此二平面必平分包含光軸與切面法線的兩個平面所成之角。（The two extinction directions in a given section of a biaxial mineral are the traces of the planes bisecting the dihedral angles formed by two planes, each determined by an optic axis and the normal to the section.）（註一）

四 球體平面投影圖及其用法（註二）

礦物晶體置於球體之中心，晶體上任何一點或一平面皆可投影於球體面上。如為一點，連此點與球體之中心作一直線並引長之與球面相遇成兩點，一在球體之上半部，一在球體之下半部，皆表示此點之投影。如為一面，將此平面平行移於球體中心而延展之，與球面相交成一圓，此圓即面之投影；或垂直此平面作一直線經過中心與球面相交成兩點，名曰極點（pole），乃表平面垂線之投影；故晶體上平面又可以極點示其關係。但實際上球體既不便於用，又難於註釋，故將球面上各點投影於



第六圖



第七圖

一平面上置人目於球體之底，仰觀球面上各點其投影於赤道平面上之位置曰 stereographic projection。第六圖為一球體之直

立剖面，球體上半部各點 A, B, C... 皆落於球體之內；如 a, b, c... 下半部各點 F, G... 皆落於球體之外，如 f, g... 愈近 S，其影愈遠。吾人所用之範圍則僅限於赤道切面以內，故其下半部各點應落於赤道外者則用其對蹠點之投影而以負號（-）名之，如 -f, -g, ...。

球體面上如有無數之經緯線，在投影圖上則經度線為直立之圓（vertical circle）圓之直徑各等於球體之直徑，稱大圓（great circle），其投影皆為直線，經過中心，等於直徑之長。緯度線皆為地平之圓（horizontal circle），除赤道為大圓外，緯度愈高，圓之直徑愈小，稱小圓（small circle），其投影各為圓，直徑則視距赤道之遠近而定（第七圖）。設球體傾側九十度，則緯度線成直立小圓（除赤道），而經度線皆為傾斜大圓如附圖1。吾人定球面上一點或一線之位置，或量度球面角時，即以此圖為規尺，俾免器械繪畫之煩，為學者須臾不可離。普通所用者直徑為 20cm。每二度繪一線，稱為吳氏投影圖（Wulff stereographic net）。其用法如下：

(a) 知一極點，求其大圓。設極點在地平面上 30° ，方位角（azimuth）為 130° 。用透明紙蓋於吳氏投影圖上，繪 130° 之方向線通過中心，然後旋轉薄紙使此方向線與吳氏投影圖之 EW 線相合，其極點 P 即為 30° 大圓與 EW 線相交之點。距極點 90° 之大圓 abc 即為所求之大圓（第八圖）。

(b) 經過兩點作一大圓。旋轉透明紙使已知之二點 d e 在同一大圓上為止，此大圓即為所求之大圓。

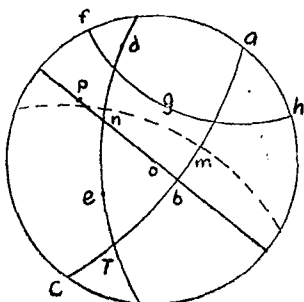
(c) 求已知大圓之極點。旋轉透明紙使已繪之大圓合於吳氏投影圖之一大圓為止，在 EW 線上距大圓 90° 度之點為極點。

(d) 繪一直立小圓，設小圓之半徑為 60° 。將小圓之中心點旋轉至 N 或 S，自此計其 60° 之直立小圓即為所求者，如第八圖之 fgh。

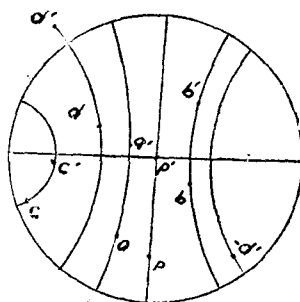
(e) 量度球面角法。兩大圓相交而成球面角，以交點為極作一大圓，其包含於前兩大圓間之弧長即等於球面角，如第八圖 $ntm = \widehat{nm}$ 。

(f) 量度二點間之角距。旋轉透明紙使二點在同一大圓上，其弧距即為二點之角距。

(g) 變換投影平面法。如欲將投影圖上之一點，遷移於某一定位置，其他相關各點亦必隨同遷移，是不啻將投影平面變換一新位置也。例如第九圖 P, a, b, c, d 為投影點，欲將 P



第八圖



第九圖

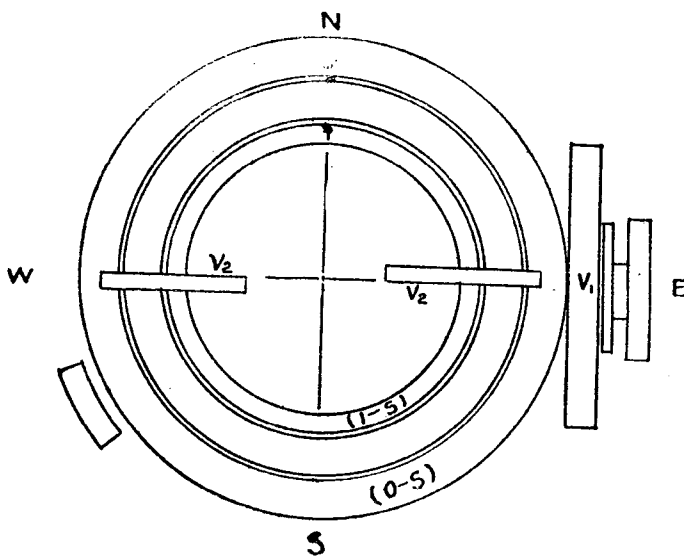
遷移至中心點 P'。乃旋轉吳氏投影圖（或旋轉透明紙）使 P 點在 E-W 線上，將 P 遷於 P'，同時 a b c d 諸點各緣其直立小圓向同一方向遷移以相等之角度，而至 a' b' c' d'。遇 d' 點落於赤道大圓之外者，即以其對蹠點—d' 名之。

五 旋轉台之構造

旋轉台與顯微鏡相合共有五轉軸：

1. (M-S) 為顯微鏡物台，其轉軸為顯微鏡中心之軸，名為轉軸(1)。
2. (E-W) 為旋轉台之東西地平軸（或左右軸），此軸帶有一直立分度圈 V_1 ，由小數分度弧可讀至五分之差，名為轉軸(2)。

3. (O-S) 為旋轉台之外圈，由旁之小數分度弧可讀至五分之差，其轉軸為(3)。
4. (N-S) 為旋轉台之南北地平軸，此軸帶有一圈，可上下傾側，由二直立分度弧 V_2 量度之，名為轉軸(4)。
5. (I-S) 為旋轉台之內圈，平載於(N-S)軸所帶之圈上，圈之外緣刻有直線，以指示其所轉之度數，其轉軸為(5)。



第十圖

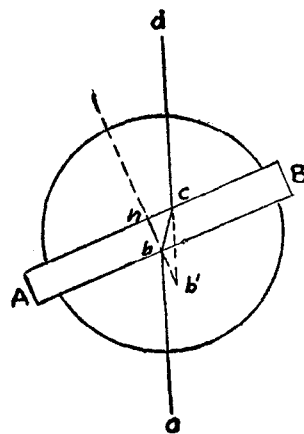
之外緣刻有直線，以指示其所轉之度數，其轉軸為(5)。

此圈之內復平載一玻璃台，用以盛載岩石薄片者。玻璃台可以旋轉使之昇高或降低。

以上五軸凡奇數轉軸如(1)(3)(5)皆為直立之軸，平時相合而為一。偶數之軸如(2)(4)皆為地平軸，平時相交為(90°)，在同一地平面內，且與顯微鏡內之十字絲及偏光鏡之方向平行。在此位置名曰零位(zero position)。

每當一軸轉動其軸數較高之各軸皆隨同轉動，較低各軸則無影響；例如(3)轉動時，(4)(5)亦必隨之，而(1)(2)則無關係。

此外附有半玻璃球(glass hemisphere)兩個，用以擴大顯微鏡之視域，並增加其光明程度，俾便觀察。一加於玻台之下，一加於岩石薄片之上，皆以甘油(glycerine)膠合之，以免去其間空氣層之折光。兩半玻球與玻台及岩石薄片之厚度相加得一完全球體，而礦物正居於球體之中心，故玻台與岩石薄片之總厚如為2 mm時，則兩半玻球必各磨去1 mm；而岩石薄片之放置又必使蓋玻璃(cover glass)向下，方可使礦物居於中心。但普通多以蓋玻璃向上，則上半玻球幾成為完全半球體，而下半玻球必割磨多方能合成一球形。玻球既為完全球形，則光線射至球面上(因垂直於球面)不生折屈，光線由中心射出亦不生折屈，故球體任何轉動對於平行光線不生折屈也。但玻球之折光率未必與所測之礦物相同，則其間必有多少折屈現象發生，故所測直立之角(verical angles)皆為視角(apparent angle)，必略加校正方得真角(true angle)。如第十一圖 $n b c$ 為真角， $n b' c$ 為視角。由公式 $n \sin V = m \sin H$ 可以求其真角。 n 為礦物之平均折光率， m 為所用玻球之折光率， V 為真角， H 為視角。為避免計算之煩，可用附圖II求之。



第十一圖

六 旋轉台使用前之預備及校正法(註三)

旋轉台除特別裝置可以用聚光外，普通皆用平行光線專以觀察消光現象。用時除去聚光鏡，用平面反射鏡與燈光。燈光經過毛玻璃一層，光線即可均勻堪用，在暗室內行之尤佳。對物鏡用No. 2.者為相宜。完善之顯微鏡物台下應有二重鎖光圈，一在偏光鏡下，一在偏光鏡上，俾得較優之平行偏光；對物鏡須帶有鎖光圈以免去玻球面上之亂反射與物鏡本身之偏光性。目

鏡亦有鎖光圈俾得縮小視域，以直注其視線於所欲研究之礦物。如用此數重鎖光圈時，燈光往往失於薄弱，非直射太陽光或弧光等不足。

顯微鏡各部之檢查與校正。(a)偏光鏡是否正交。除去顯微鏡內之物鏡目鏡，直對太陽以察其是否完全黑暗，如不黑暗即轉偏光鏡以校正之。(b)十字絲是否與偏光鏡平行。用一軸晶之直立切面或硬石膏(anhydrite)之劈面驗之。(c)物鏡是否與顯微鏡軸(M-S)相合。用普通顯微鏡中心校正法行之。(d)物鏡是否有偏光性。物鏡因介於偏光鏡必須完全不帶偏光性方可應用。除去目鏡，旋轉物鏡於正交偏光鏡間，如有明暗變化，是具偏光性；但此弊如縮小光圈即可減少時，物鏡仍可使用。

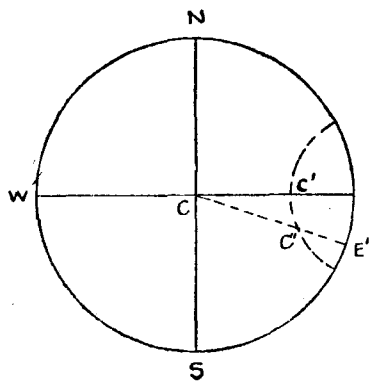
旋轉台各部之檢查與校正。(a)除去顯微鏡物台上中央鐵板，置旋轉台於其上，使直立圈V₁在右方；螺絲釘不可旋緊，以待更正。(b)(E-W)與(N-S)兩軸各置於O位，旋緊其旁之螺絲，使之不可轉動。(c)除去上偏光鏡(anylazer)，焦對於玻台上一點或一小灰塵，轉動(O-S)或(I-S)以驗其轉軸是否與顯微鏡軸相合。如不相合則焦對之點環繞移動，然後推動旋轉台校正之，殆(M-S)與(O-S)兩軸相合為止。乃旋緊螺釘，使固定於物台上。(d)岩石薄片置於玻台上，以甘油膠合之，使欲研究之礦物居中心。放鬆(N-S)軸之螺絲釘並轉動之，察其焦對之點是否移動；如有移動是證礦物不在(N-S)軸內，應將玻台昇高或降低以校正之。設(N-S)軸向左轉動而焦對之點亦向左移動，是礦物在(N-S)軸之下，應使玻台昇高以校正之；反之應使之降低。既至確無移動，即是礦物已確在(N-S)軸內。此時若轉動(E-W)軸焦對之點亦必不移動，如有移動是因製造不精，兩軸未在同一平面之內。(e)再將上半玻球加於岩石薄片上，亦以甘油膠合之，上玻球不可旋緊，留待校正。轉(N-S)軸使玻台之底面向上，將下半玻球以甘油膠合之；然後恢復原位。(f)玻球加上後，往往見焦對之點不在(N-S)與(E-W)兩軸之地平面內，此時應照(d)法行之。殆正確後，上半

玻球輕輕旋住，使薄片不致動轉為可，旋緊太甚，往往將薄片壓碎，或發生重屈折現象。(g)兩半玻球之折光率必相同，且與所測驗之礦物之平均折光率相差不可太多，愈近愈佳，但相差至0.1仍可得美滿結果。(h)轉(O-S)使 270° 或 90° 之刻度線對其旁小數分度弧之O點，此時(N-S)與(E-W)兩軸當為正交。提高物鏡，焦對於玻球面上一小灰塵，轉動(E-W)察此灰塵之移動是否平行鏡內十字絲之南北線；如不平行，則轉動物台(M-S)以校正之。此時(E-W)亦必與十字絲之東西線平行，再以(N-S)軸之轉動驗之，灰塵移動亦必平行於東西線，否則為製造不精，應略轉(O-S)以校正之；然後旋緊物台(M-S)，並記其方位度數。

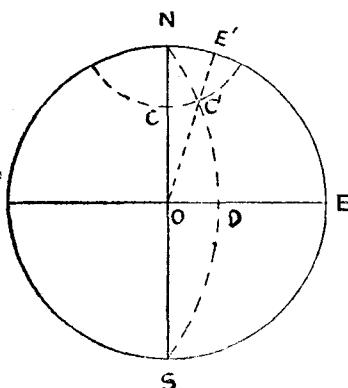
七 矿物晶系之鑑別法

A. 均質礦物之任何方向的切面置於旋轉台上皆呈消光現象，且對於旋轉台各軸之轉動亦不影響於消光現象。

B. 一軸晶之垂直於光軸的切面。切面平置於旋轉台上，光軸與(M-S)轉軸相合，故轉動任一直立軸如(I-S)不影響消



第十二圖



第十三圖

光現象。對於(E-W)或(N-S)軸之轉動亦無影響，因光軸未出偏光鏡之方向也(第十二圖)。但先轉(N-S)軸再轉(E-W)軸以

驗之，則消光位立變，是因光軸 C 先傾側至於 C'，再傾側至於 C''，此時消光位為 CE'，已出偏光鏡之方向矣。

C. 一軸晶之平行於光軸的切面。切面平置於旋轉台上，轉動(I-S)軸每 90° 消光一次。當消光位時，對於任一地平軸(E-W)或(N-S)之轉動皆不變其消光現象。但轉動(N-S)軸後再轉(E-W)軸以驗之，則視光軸所居之位置而有消光與不消光之差別；如光軸平行於 NS 則不變其消光現象，乃因(E-W)軸任何轉動，光軸皆不出 NS 直立平面也；如光軸平行於 EW，則光軸先由赤道大圓移至 C' (同第十二圖)，復至 C''，於是消光位移至 CE'。

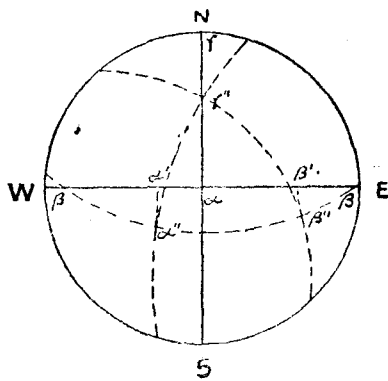
D. 一軸晶之斜交於光軸的切面。此類切面上消光方向已詳述於前，平置旋轉台上轉動(I-S)軸每 90° 消光一次。當消光位置後，祇對於一個地平軸之轉動可不影響於消光現象；例如光軸在 NS 直立平面內，則(E-W)軸之轉動不生變更(第十三圖)，C 為光軸在切面上之投影。但對於其他地平軸(N-S)之轉動則立變其消光方向。因光軸由 C 移至 C'，消光位變為 OE'。再轉(O-S)以復其消光位，光軸又入於 NS 直立平面內。對(E-W)之轉動仍是永久消光。由(O-S)所轉之角 NOE' 與(N-S)軸所轉之角 O'D，可求出 C 點；於是光軸對於切面法線傾斜之角 OC 亦可知，因 $\widehat{OC} = \widehat{DC'}$ ，或由球面三角公式求之。

$$\cot OC = \frac{\tan \alpha O-S}{\sin \alpha N-S}$$

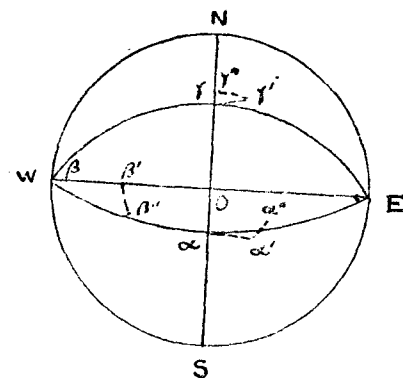
$\alpha O-S$ 為(O-S)所轉之角， $\alpha N-S$ 為(N-S)所轉之角。

E. 二軸晶切面平行於一個光學對稱面者。此種切面之法線為光學對稱軸之一，其餘二軸皆平行於切面。平轉(I-S)軸每 90° 消光一次。當消光位後，切面對於任一地平軸(E-W)或(N-S)之轉動，皆不影響於消光現象，與一軸晶切面平行於光軸者(C)相似(第十四圖)。但其所以區別於一軸晶者，即當(I-S)轉動時，切面不論在何種消光位置，若轉動(N-S)軸後再轉(E-W)軸驗之，則消光現象立變，乃因 $\alpha \beta \gamma$ 先則傾側至 $\alpha' \beta' \gamma'$ 再則傾

側至 $\alpha'' \beta'' \gamma''$, 各光學對稱面皆已傾斜; 按 Biot Fresnel 定律, 消光方向當不在光學對稱面內, 故此時消光位必不平行於偏光鏡方向。至於究竟應在某方向, 視礦物光學對稱軸之位置與 $\alpha \beta \gamma$ 之值而定。



第十四圖

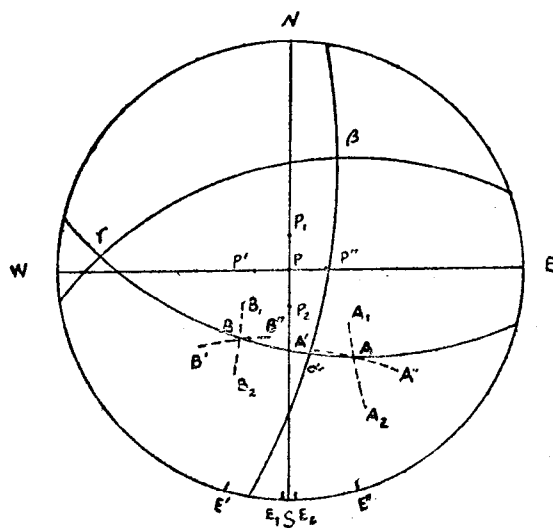


第十五圖

F. 二軸晶切面垂直於一個光學對稱面者。此類切面之消光方向前已言之。平轉 (I-S) 軸每 90° 消光一次。當消光位後, 切面祇對於一個地平軸之轉動不變其消光現象, 如第十五圖 $\alpha \gamma$ 為垂直於切面之光學對稱面, 平行於 NS 者, 對於 (E-W) 軸之轉動不變其消光位, 而對於 (N-S) 軸之轉動則消光位立變。此與一軸晶切面斜交於光軸者 (D) 相似。其所以區別於一軸晶者, 即 (N-S) 軸轉動後, 雖亦有消光位之變化, 但轉 (O-S) 軸恢復其消光位後, 此時切面對於 (E-W) 軸之轉動已不成永久消光現象矣, 是因 $\alpha \beta \gamma$ 先則傾側至 $\alpha' \beta' \gamma'$, 再則轉移至 $\alpha'' \beta'' \gamma''$, 雖可達消光位而各光學對稱面仍成傾斜之勢, 故對於 (E-W) 軸之轉動必不能永久消光也。倘垂直於切面之光學對稱面為光軸面又平行於 (N-S), 則 (E-W) 軸轉動時, 往往見有一點或兩點呈低度光明(但光軸甚大而切面又偏於垂直鈍角等分線時此現象不可見), 即因光軸周圍之內圓錐形屈折(internal conical refraction)作用也。此為一軸晶所絕無。

G. 二軸晶切面垂直於一個光軸者。此類切面與 F 同，不過光軸適當切面之垂線。平轉 (I-S) 軸皆為消光，惟切面祇對於一個地平軸之轉動不變其消光現象，是與一軸晶 (B) 之區別也。

H. 二軸晶切面之斜交於各光學對稱面者。此類切面上之消光方向依 Biot Fresnel 定律可定之，如第十六圖。A 與 B 為光軸，P 為切面法線與 (M-S) 軸相合。其消光方向為 NS 與 EW，平轉 (I-S) 軸每 90° 消光一次。當消光位後，切面對於任何地平軸 (E-W) 或 (N-S) 之轉動，皆可變其消光現象，且因轉動之方向與角度大小之不同，消光現象亦因而有遲速強弱之變



第十六圖

化。例如 (N-S) 軸向左轉動，切面傾側其法線至於 P' ，此時應相當一新切面光軸為 A' 與 B' ，其消光位應移至 $P'E'$ ；(N-S) 軸向右轉動，切面法線至 P'' ，光軸至 A'' 與 B'' ，其消光位應移至 $P'E''$ 。更以 (E-W) 軸之轉動試之，切面法線至 P_1 ，光軸至 A_1 與 B_1 ，消光位移至 $P'E_1$ ；切面法線至 P_2 ，光軸至 A_2 與 B_2 ，消光位為 $P'E_2$ 。

以上數項可簡述其手續如下：

1. 矿物切面在正交偏光鏡間平轉(I-S)軸任何角度皆為消光時，應區別其是否為均質礦物(A)或為一軸晶(B)，或為二軸晶(G)之切面。
2. 平轉(I-S)軸每90°消光一次，且對於任何一個地平軸之轉動亦不變其消光現象時，應區別其是否為一軸晶(C)或二軸晶(E)之切面。
3. 平轉(I-S)軸每90°消光一次，但切面祇對於某一個地平軸之轉動不變其消光現象時，應區別其是否為一軸晶(D)或二軸晶(F)之切面。
4. 平轉(I-S)軸每90°消光一次，但切面對於任何一個地平軸之轉動，皆變其消光現象時，即為二軸晶(H)之切面。

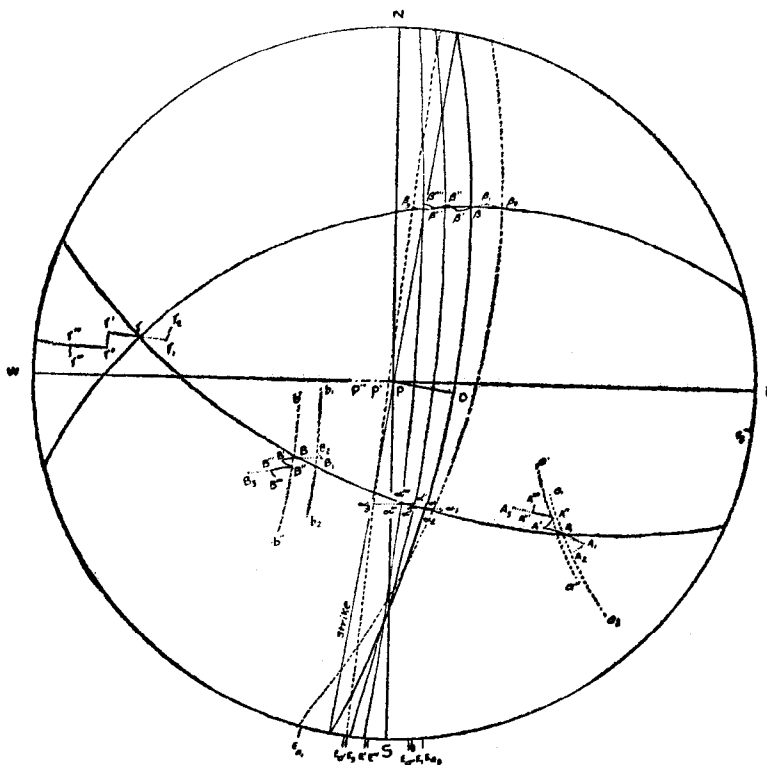
八 光學對稱軸之測法(註三)

二軸晶礦物之光學上的鑑定，不外光軸角之大小， $\alpha\beta\gamma$ 之值，光性之正負，與光學對稱軸對於結晶軸之關係等事。但光軸角(除直接測定外)與光性之正負皆可以 $\alpha\beta\gamma$ 之值計算之，如第二節所述 $\alpha\beta\gamma$ 可沿光學對稱軸之方向以指示液測定之，可見光學對稱軸之位置必先行測定，然後方可論及其他；至結晶軸之位置乃以劈紋或晶面定之。光學對稱軸為光學對稱面之交線，欲知光學對稱軸必由光學對稱面求之，故光學對稱面之測定為鑑定二軸晶之惟一要事。

在岩石薄片內吾人所遇之二軸晶礦物切面，實以斜交於光學對稱面者為多。光學對稱面既無實體可見，而測定之法端賴其消光位之關係；蓋消光位一入於光學對稱面內，則垂直於此面之軸任何轉動，皆不變其消光現象也。換言之即消光現象對於一軸之轉動永不變更時，必有一光學對稱面垂直於此轉軸矣。理雖至淺，但如何方可使切面達於此位，亦有一定之手續

與方法，庶可敏於操作，俾免反覆試驗之苦。其手續概可分為下列五步：

(a) 切面置於旋轉台上，先定其是否為斜交於光學對稱面之切面，如為斜切面，遂平轉(I-S)至消光位。如第十七圖，為一負光性礦物之切面，A與B為光軸。PS平分APB角，PS平行於NS時，名曰第一次消光。



第十七圖

(b) 轉(N-S)軸使切面之左半部向下傾側數度，光軸移至A'與B'，消光位因而變遷至PE'；各光學對稱軸亦有相當之遷移而至 α' β' γ' ，此時(I-S)軸已傾側至P'。

(c) 轉(I-S)向反鐘針方向，使PE'復合於NS又至消光位。名曰第二次消光。光軸又移至A''與B''，各光學對稱軸亦有

相當之轉移而至 $\alpha'' \beta'' \gamma''$ 。圖上各點之轉移係以 P' 為轉軸，故所轉之角不為 SPE' 明甚。由圖上 $\alpha'' \beta''$ 光學對稱面之位置，顯然可見此面之傾斜已漸近於直立，且其走向 (strike) 亦漸趨合於 NS 方向，即消光位漸近於光學對稱面也。

但此時所當注意者 (b) 次轉動 (N-S) 軸時，亦或令切面之右半部向下傾側，(I-S) 軸向鐘針方向亦可達於第二次消光位置；即光軸先至 A_1 與 B_1 ，再轉移至 A_2 與 B_2 ，消光位由 PE_1 復合於 NS； $\alpha \beta$ 由 $\alpha_1 \beta_1$ 轉移至 $\alpha_2 \beta_2$ 。但由圖上之位置已見 $\alpha_2 \beta_2$ 面漸遠於直立位置，且其走向距 NS 愈遠，顯然不為所欲要之位置。但光學對稱面既無實體可見，欲知其傾斜之緩急，走向之方向與夫消光位之是否漸近於光學對稱面，可應用 (E-W) 軸之轉動即足確定，其法如下。

(d) 當第二次消光後，轉 (E-W) 軸向前或向後 (假定各轉 20°)，光軸 A'' 與 B'' 向前可移至 a' 與 b' ，向後可移至 a'' 與 b'' ；其影響於消光位者向前為 PEa' ，向後為 PEa'' 。

倘第二次消光係將切面之右半部向下傾斜者，則光軸 A 與 B_2 向前可移至 a_1 與 b_1 ，向後可移至 a_2 與 b_2 ；其影響於消光位者向前為 PEa_1 ，向後為 PEa_2 。

由圖上可見消光角之變更 $Ea_1 PEa_2$ 大於 $Ea' PEa''$ 。消光位近於光學對稱面時，所見之光亮程度低微，明暗變化遲緩；反之所見之光亮程度高強，明暗變化急劇。因而知切面轉移與傾側之方向何者為正確何者為誤謬。

(e) 由 (d) 次試驗確定 (b) 與 (c) 轉動之方向後，乃繼續傾側之，可使光學對稱面 $\alpha \beta$ 由 $\alpha' \beta'$, $\alpha'' \beta''$, $\alpha''' \beta'''$, ..., 而達於直立且平行於 NS 方向，此時 (E-W) 軸之轉動即不影響於消光現象矣。當切面繼續傾側與轉移時，其傾側之角度應愈行愈微，偶一不慎傾側過多，則失其所要之位置，反難於測定。如圖上所示切面傾側過多，光軸 $A'' B''$ 即逕至 A_3 與 B_3 ，各光學對稱軸亦移至 $\alpha_3, \beta_3, \gamma_3$ ； $\alpha_3 \beta_3$ 面已顯然踰越直立位置而向反對方向傾斜，

此時消光位爲 PE_3 ;可見消光位之變更已大於前次傾側時之消光位 PE' ,更以(E-W)軸之轉動驗之尤著。若切面仍繼續此方向轉動不止,則愈行愈遠,徒費工夫。故(N-S)軸之轉動應加慎審。

將(N-S)軸所轉之角度(真角)與(I-S)軸所轉之角度繪於圖上,即得第一光學對稱面之投影,其極點爲垂直於此面之光學對稱軸。

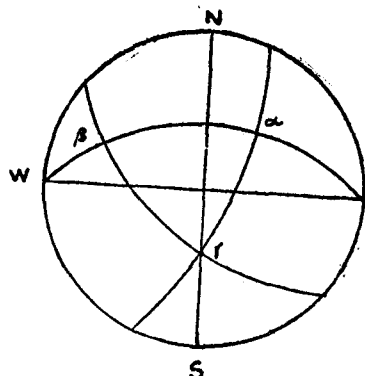
設第一光學對稱面爲光軸面($\alpha\gamma$),當(E-W)軸轉動時,往往見有一點或兩點呈低度光明(如光軸角過大而切面又近於垂直鈍角等分線時,無此現象),即知垂直於此面之光學對稱軸(即極點)必爲 β 之方向。此種現象更可變其方向而觀察之,尤爲清晰易識;放鬆物台(M-S),旋轉 45° ,使第一光學對稱面在NE-SW方向,轉動(E-W)極易驗其是否爲光軸面。如爲光軸面往往見有一點或兩點(即光軸)呈黑暗;且借此更可試驗第一光學對稱面是否完全垂直於轉軸(E-W),若所測之位置無大差誤,切面轉至黑暗時,光軸必與鏡軸相合,則(M-S)軸之轉動仍不變其黑暗程度也。

如不爲光軸面,則必爲 $\beta\gamma$ 或 $\beta\alpha$ 。此時(E-W)軸必平行於 α 或 γ 。用Berek Compensator或石膏片(gypsumplate)驗之,若垂直於此面之方向如爲大彈性軸即是 α ,否則爲 γ 。

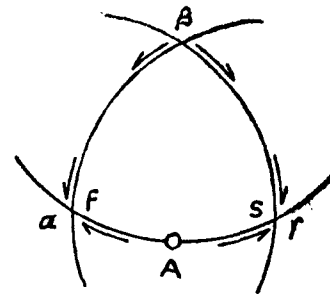
第一光學對稱面既經測定,再定第二面,始可知各光學對稱軸之位置。轉動(N-S)軸,使切面恢復地平位置,再轉(I-S)軸 90° 使第一光學對稱面傾斜於南(或傾斜於北)如第十八圖。乃依照第一光學對稱面尋求之手續行之。將(N-S)與(I-S)所測之角度(真角)繪於圖上,並驗此面之垂直方向爲某光學對稱軸。

如遇光軸面無法確定時,則各光學對稱軸之名稱仍不能決定,乃察其干涉色(birefringence)之變遷以確定之。蓋直立光學對稱面爲 $\beta\gamma$,轉動(E-W)軸其干涉色向 γ 方向增加因($\beta-\alpha$) $<(\gamma-\alpha)$ (第十九圖);如爲 $\beta\alpha$,干涉色向 α 方向增加因($\gamma-\beta$) $<$

($\gamma-\alpha$)；如為 $\alpha \gamma$ ，干涉色可向 α 方向增加，亦可向 γ 方向增加，因 A 為光軸也。故當測驗第一第二兩面時，若將其干涉色增加之



第十八圖



第十九圖

方向亦隨同記出，由第十九圖即可確定 β 之位置。再使包含 β 之一個光學對稱面直立並平行於 NE-SW，用試片定出大小彈性軸方向，由此圖即知 α 與 γ 之位置。

第一第二兩面若無大差誤，則所繪之兩個大圓必各經過極點，且二圓相交之點亦必距其已定之二極點各為 90° 。故第二面測定後即可知誤謬之程度如何。

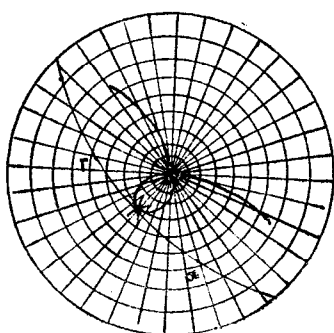
測驗第一光學對稱面時，(N-S) 軸所轉之角如大於 30° （視角），則可於切面恢復地平後，更向反對方向傾側使此光學對稱面成地平位置與第十四圖 (E) 相同。此時其餘二光學對稱面必皆直立，故轉 (M-S) 一測其消光角即可定此二面之位置，是則無須重複以前之手續矣。

愛孟氏 (R. C. Emmons) 新式旋轉台之構造，(註四) 在 (N-S) 軸與 (I-S) 之間又增一 (e-w) 轉軸，第一光學對稱面尋求時，係先轉動此新增之 (e-w) 軸而以 (N-S) 軸驗之，令此面直立平行於 E-W。復徐徐轉動 (N-S) 而以 (E-W) 軸驗之，令第二光學對稱面直立平行於 N-S，故 $\alpha \beta \gamma$ 之方向可以直接定出，無須圖繪，此器之主要用途為以指示液定 $\alpha \beta \gamma$ 之值，若欲定光學對稱面與結晶軸之關係，仍不能免圖繪之煩。

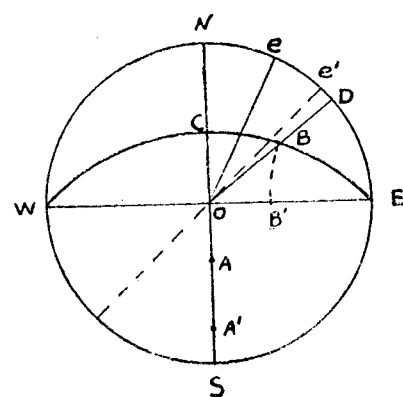
九 光軸角測法(註五)

當測驗光學對稱面時，二光軸之位置有時可以直接量度；但遇二光軸皆不能確定或只有一光軸可見時，必用間接方法始可求之。

(a) 消光角曲線法。將二軸晶晶體依無限的方法作數多切面，各切面對於某一定之晶軸方向必有一定的消光角，將等消光角之各切面的極點相連必成無數曲線。又因垂直於光軸之切面，其消光角無限，故各曲線必皆相交於光軸。依此原理，將礦物切面轉至消光位後，轉動(O-S)軸每 5° 為一次，或左或右，每次之後再轉動(E-W)以復其消光位；更轉(E-W)軸每 5° 為一次，或前或後，每次之後再轉(O-S)軸以復其消光位；將每次之角度(真角)繪於圖上再得一曲線，必經過圖之中心與光軸。於是更將偏光鏡旋轉使之與(E-W)軸成 $15^\circ, 30^\circ, 45^\circ \dots$ 等之位置，每一位置依上法得一曲線。如是行之即可得數條曲線皆經過圖之中心與光軸。但實際上往往不交於一點是測驗之誤差也。即取其平均之處作為光軸位置。以此法所得之光軸位置極為精確，但只限於一個光軸或兩個光軸皆在視域內者用之。(第廿圖)。



第廿圖

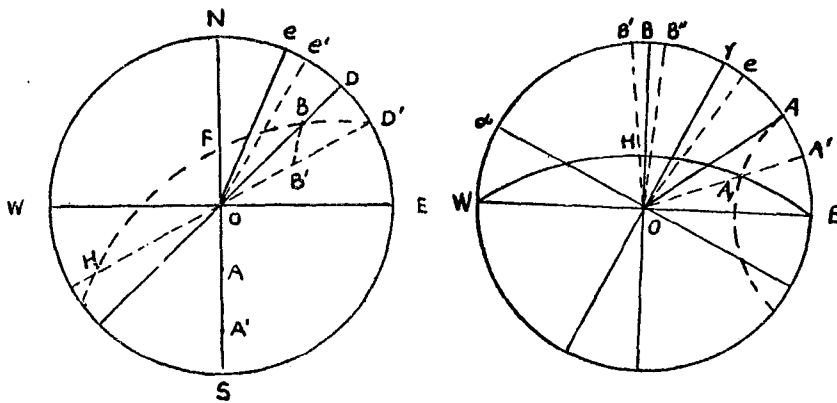


第廿一圖

(b) 第二光軸測法。切面在地平位置，使已經測定之一光軸A在NS直立平面內(第廿一圖)，測其消光角為Oe。依Biot-

Fresnel 定律其第二光軸必在 O D 直立平面內，因 $N O e = e O D$ 。轉動偏光鏡，使其消光角為 45° 達 Oe' 方向，然後轉 (E-W) 軸至於消光現象，此時光軸 A 至 A'，第二光軸必在 O E 直立平面內，因 $N O e' = e' O E$ 。切面仍恢復地平位時，O E 平面必傾斜成 C E， \widehat{OC} 為 (E-W) 軸所轉之角度（真角）。C E 與 O D 相交於 B，即為所求之光軸位置。C E 大圓往往省去不繪，只在 O D 與 O E 之間求一小圓之弧 $B B'$ 等於 (E-W) 軸所轉之角度（真角）可也。

(c) 有時 (E-W) 軸轉動已至極限而仍未達消光現象，則可應用 (b) 法原理略為變通 $N O e'$ 不必一定為 45° 。微轉偏光鏡使其消光角略大於前如 Oe' 方向（第廿二圖），殆 (E-W) 軸轉至消光現象時，光軸 A 至 A'，其他一光軸必在 O D' 直立平面內，因 $N O e' = e' O D'$ 。切面恢復地平，O D' 平面即成 F H。F H 與 O D 相交之點 B 為所求之光軸位置。F H 大圓亦可省去不繪，只在 O D 與 O D' 之間求一小圓之弧 $B B'$ 等於 (E-W) 軸所轉之角（真角）即可。欲其精確，可多行數次，偏光鏡每轉一次得一交點，取其平均之處作為光軸位置。



第廿二圖

第廿三圖

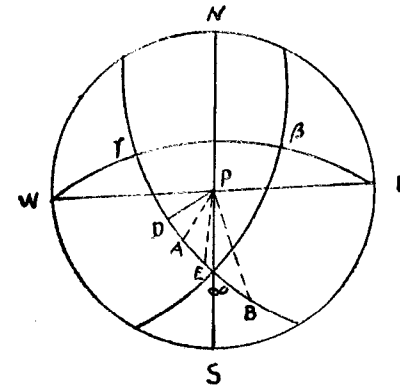
(d) 切面之近於垂直 β 方向者，光軸皆在視域之外，用上法必傾側甚大方可求其位置，常為旋轉台所不可能。乃將 $\alpha\beta\gamma$ 之位置先由前述之方法定出；利用 (N-S) 軸與 (I-S) 軸之轉

動，將 β 置於鏡軸之內（第廿三圖），光軸面已成地平，故光學對稱面 $\beta\alpha$ 與 $\beta\gamma$ 皆直立正交。設 γ 為銳角等分線，B 為一光軸，由(E-W)軸與(O-S)軸之轉動，數次試驗可使之平行於NS方向。假定B確平行於NS方向時（即垂直於E-W軸），消光位為O γ ，其他光軸必在A點；若(E-W)軸轉動，使光軸面傾斜成WHE，則B至H，A至A₁，此時之消光位Oe必平分BOA'。如不平分，是光軸B不在NS方向；BOe太大時，是證光軸偏於OB''一邊，太小時，是證光軸偏於OB'一邊。如此反覆試驗可至正確位置，測其消光角即知光軸角。

(e) 貝氏(M. Berek)光軸角曲線法。(註三)各光學對稱軸測定後，利用(N-S)軸之轉動使一光學對稱軸合於鏡軸(M-S)其餘二軸合於NS與EW，然後平轉(O-S)軸45°，以試片定其彈性軸，再轉(E-W)軸54.7°，如第廿四圖。因

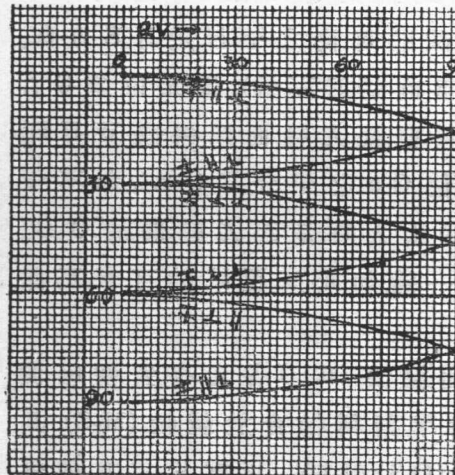
$$\cot P\alpha = \frac{\cos P\alpha D}{\tan D\alpha} = \frac{\cos 45^\circ}{\tan 45^\circ}, P\alpha = 54.7^\circ$$

（切面傾側應使法線近於鏡軸）。於是轉(M-S)軸測其反鐘針方向之消光角，用貝氏曲線表（第廿五圖）查得其光軸角，並可知光性之正負與 $\alpha\beta\gamma$ 之位置。此法不但可得光軸角，如遇 $\alpha\beta\gamma$ 之位置無法決定時，更可同時推求。

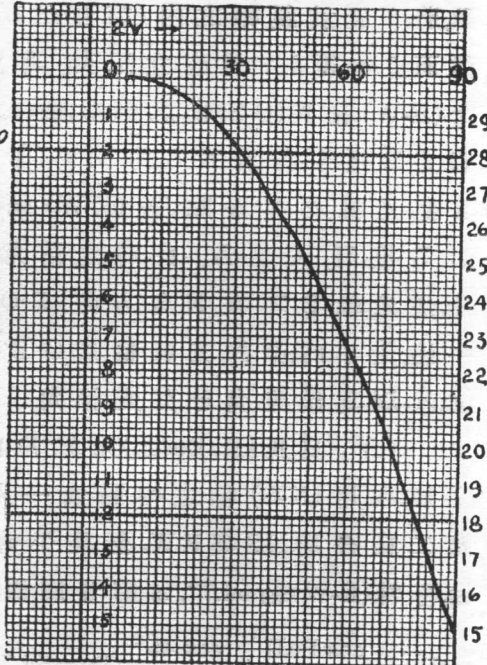


第廿四圖

第廿六圖為一部之擴大者，俾得詳讀其光軸角之值。由第廿四圖可見當光學對稱面對於鏡軸成同等之傾斜時，光軸角若自0°增至90°其消光位距銳等分線之方向必自0°增至15°為限。其理可以下述算式說明之。設 α 為銳等分線， $\widehat{AB} = 2V$ ，PE為消光位，平分APB。PD垂直於 $\alpha\gamma$ 大圓。



第廿五圖



第廿六圖

$$\tan P D = \frac{\sin D \alpha}{\cot D \alpha P} = \frac{\sin 45}{\cot 45}$$

$$P D = 35.3^\circ$$

$$\cot D P A = \frac{\sin P D}{\tan D A}$$

$$= \frac{\sin P D}{\tan \frac{1}{2}(90 - 2V)}$$

$$\therefore \cot D P A = \frac{\sin PD}{\tan(45 - V)} \dots \dots \dots (1)$$

$$\text{同理 } \cot D P B = \frac{\sin P D}{\tan(45 + V)} \dots \dots \dots (2)$$

由 (1) (2) 可知 $A P B = D P B - D P A$

$$\begin{aligned} DPE &= DPA + \frac{1}{2}(APB) \\ \therefore DPE &= \frac{1}{2}(DPA + DPB) \dots (3) \\ \text{但 } EP\alpha &= DPA - DPE \\ EP\alpha &= 60^\circ - DPE \dots \dots (4) \end{aligned}$$

(1) (2) 兩式內祇有一個不知數 V 可以變化。故光軸角 ($2V$) 自 0° 遞增至 90° 時 $EP\alpha$ 之值可以一一求出，繪為第廿六圖。更變換銳等分線之位置，使 $\alpha\beta\gamma$ 之方位彼此交換，再逐次求其消光位，則得第廿五圖。

圖內曲線上註有三種符號，如 \mp , \parallel , \perp 等是。用法如下：

第一符號 (\mp 或 \pm) 表示礦物光性之正負，符號之上部 ($-$ 或 $+$) 表示遲光線 (slow ray) 在 NW-S E 方向時所測定者。下半部 (+ 或 -) 表示速光線 (fast ray) 在 NW-S E 方向時所測定者。

第二符號 (\parallel 或 \perp) 表示 (E-W) 軸未轉時銳角等分線與鏡軸之關係。

第三符號 (\perp 或 \parallel) 表示 (E-W) 軸未轉時鈍角等分線與鏡軸之關係。

十 長石鑑別法 (註三)

弗氏旋轉台之主要用途，為鑑定長石。蓋長石為造岩礦物之最主要者，岩石分類，端以長石為標準。數十年來學者對此研究，不遺餘力，取天然長石定其光性與化學成分上之關係，復按化學成分人工製造，以驗其變化；至此極難區別之斜長石，借此器已可確定其成分與光性矣。附圖 III 為各種長石光性方位之投影圖。他如長石之十數種雙生晶離，則此器更難鑑別。

用前述各法既經測定長石光學對稱軸後，至少尚須測定其一個晶面或一個晶軸，方得區別其種屬。因長石之光性方位 (optic orientation) 各有不同也。晶軸與晶面皆可以劈紋方向定

之；長石劈紋有三，平行於 001 者為最完全 (perfect)，平行於 010 者仍甚清晰 (distinct)，平行於 110 者則不完全或不清晰 (imperfect or indistinct) 且往往缺如。既測知一種或兩種劈面對於切面之傾斜方向，晶面或晶軸與光學對稱軸之關係，亦可推求，於是光性方位可得。

劈紋為晶體內之裂縫，當切面垂直於劈面時，在平行偏光鏡間為狹細裂紋，在正交偏光鏡間呈一黑線；但切面斜交於劈面時，劈紋為切面所掩蓋，在平行偏光鏡間往往不著，且隨焦點之上下而左右移動，在正交偏光鏡間無痕跡可見，或為暗色條帶。

測驗劈紋時轉 (I-S) 軸使劈紋平行於 N-S 線，再轉 (N-S) 軸以定其傾斜之方向及角度。長石概不俱顏色，在平行偏光鏡間劈紋甚不易觀察，故在正交偏光鏡間測驗為宜；但遇礦物劈紋近於消光位置，可轉動偏光鏡使切面明亮，黑線劈紋立時顯著。劈紋測定後亦繪於圖內。旋轉投影平面，使 β 至於圖之中心， α 與 γ 則移至圓周；光性方位可以了然。然後蓋於附圖 III 上翻覆旋轉，使之合於圖上 α 與 γ ，察其劈面極點與圖上同名曲線之某點相合，如合於 (001) 3，此長石為 andesine (30% An)。

雙晶之測法 長石之雙晶約有十數種，概可分為 (1) 正雙晶 (normal twinning) (2) 平行雙晶 (parallel twinning) 與 (3) 混合雙晶 (complex twinning) 三類：

I. Normal Twinning.

Twinning axis 雙生晶軸	Composition face 聚合面	Name 名稱
⊥ 010	010	Albite
⊥ 001	100	Manebach
⊥ 021	021	Baveno

II. Parallel Twinning.

Twinning axis 雙生晶軸	Composition face 聚合面	Name 名稱
c	010	Carlsbid A
c	100	Carlsbid B
a	001	Ala A
a	010	Ala B
b	001	Acline A
b	001 ±	Pericline

III. Complex Twinning.

Twinning axis 雙生晶軸	Composition face 聚合面	Name 名稱
c and \perp 010 or \perp c in 010	010	Albite-Carlsbid A
a and \perp 010 or \perp a in 010	010	Albite-Ala B
a and \perp 001 or \perp a in 010	001	Manebach-Ala A
b and \perp 001 or \perp b in 001	001	Manebahcacline A

礦物發生雙晶時，不啻將礦物晶體緣某晶面平分為兩部，使一部分依一定之軸旋轉 180° 而復合併之。其兩部連合之面為聚合面 (composition face)，即吾人在正交偏光鏡下所見兩部之分界線也；旋轉之軸為雙晶軸 (twinning axis)，垂直於此雙晶

軸之平面爲雙晶面(twinning plane)。雙晶軸垂直於聚合面時爲正雙晶；平行於聚合面時爲平行雙晶或混合雙晶；平行雙晶與混合雙晶之區別又視雙晶軸與結晶軸之關係而定。如雙晶軸平行於一個結晶軸(a, b 或 c)，即屬平行雙晶之類，如雙晶軸垂直於一個結晶軸，即屬混合雙晶之類。故欲定雙晶之種類，必先知聚合面與雙晶軸之位置。

聚合面之測法 聚合面每與晶面平行，依照劈紋測法即可定之。旋轉(I-S)軸使聚合面之走向平行於N-S線轉動(N-S)軸測其傾側之方向與度數。如爲正雙晶，殆兩部分光色相同時，則聚合面已成直立。如爲平行雙晶或混合雙晶兩部光色程度不相同。故又可轉動偏光鏡使兩部明暗程度達於極點後，乃轉動(N-S)軸以驗其聚合面之傾斜方向與角度，當聚合面直立時，兩部之界線最爲清晰平齊。

雙晶軸之測法 雙晶之一部分既以雙晶軸爲轉軸而旋轉，其兩部分上之光學方位(α, β, γ)必以雙晶面爲其對稱面。又因其一部分既旋轉 180° ，故凡同名光學對稱軸($\alpha_1 \alpha_2, \beta_1 \beta_2$ ，或 $\gamma_1 \gamma_2$)與雙晶軸必在一平面之內。若知兩部分上之光學對

稱軸之位置，則連各同名光學對稱軸作三個平面(在投影圖上爲三個大圓)，其交點必爲雙晶軸在投影圖上之出露點。雙晶軸既經測定，察其與晶軸及聚合面之關係，雙晶種屬即定。茲舉數例以明長石之鑑別及圖繪法則：

例一。

輝長岩(gabbro)

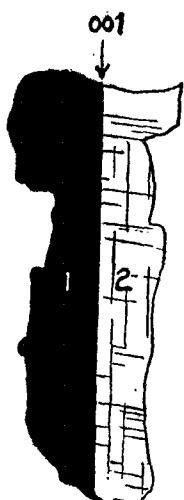
熱河朝陽縣賈家店玉皇廟。

長石切面如第廿七圖。

旋轉台上所用之玻璃球折光率=1.56

假定此片長石平均折光率 = 1.56 ±

第二十七圖 顯微鏡物台起始點爲 0.6°



Individual 1

N.	5°		A. K. 316.5°
H. E.	35.8°	pole = β	B. K. 68.0°
N.'	270.0°		
H.' E.	5.8°	pole = γ	

Individual 2

N.	292.0°		A. K. 47.5°
H. W.	21.8°	pole = β	B. K. 303.0°
N.'	20.8°		
H.' E.	5°	pole = γ	

Composition face of 1 and 2

N.	327.2°		
H. E.	10.3°		

Cleavages on individual 1

N.	010	61.5°	N.	001	327.2°
H. W.		1.9°	H. E.		10.3°

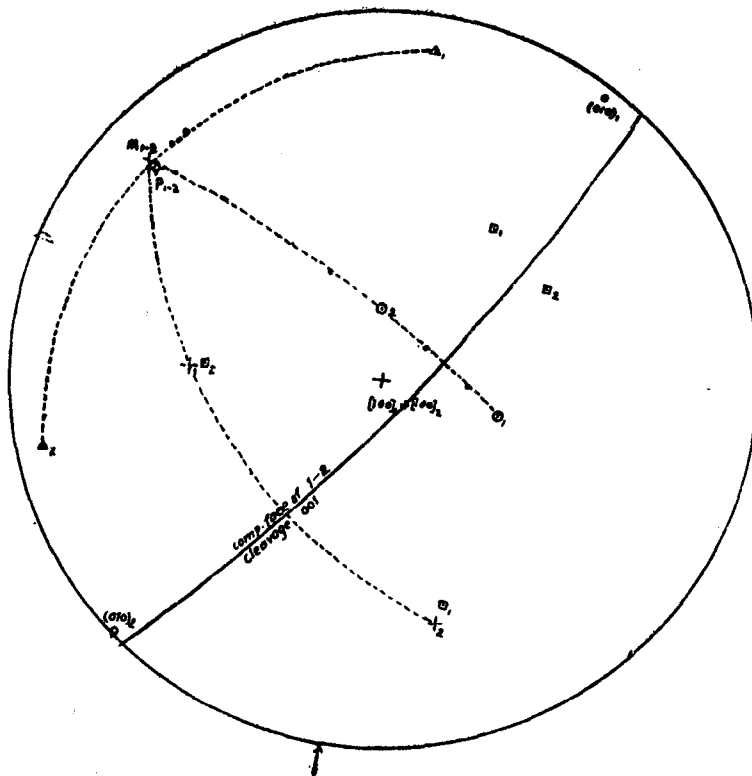
Cleavages on individual 2

N.	010	53.0°	N.	001	327.2°
H. E.		0.8°	H. E.		10.3°

N = (I-S) 軸, H = (N-S) 軸, E, W, = 直立分度弧 V_z.

A, B, = 軸光, K = (E-W) 軸.

將所測各點繪為投影圖如第十八圖。連各同名光學對稱軸作三個大圓(圖內點線所指之大圓)，相交於一點或一小三角形，取其中心點 M_{1-2} ，為雙晶軸。



第二十八圖

 $\odot = \alpha$ $\times =$ 聚合面之極點 $\div = \beta$ $OM =$ 雙晶軸 $\triangle = \gamma$ $O =$ 壓面或晶面之極點 $\square = A \text{ or } B \quad [100] =$ 結晶軸 a

P_{1+2} 與 M_{1-2} 幾可相合，故 1 與 2 為正雙晶，因聚合面為 001，故屬於 Manebach 雙晶。至於長石種類之鑑別，可將 β_1 移至圖之中

心, α_1 與 γ_1 各移至圓周上, $[100]_1$, $(010)_1$, $(001)_1$ 與 M_{1-2} 亦各移至於相當位置, 然後蓋於附圖 III 上, 察其各點所居之位置, 是否與圖上同名曲線相合; 如不相合, 則反覆蓋於附圖上再試驗之。既至各點與同名曲線相合, 其各點所指之處長石成分大致相同。再將 β_2 移至中心, α_2 與 γ_2 移至圓周上, $[100]_2$, $(010)_2$, $(001)_2$, 與 M_{1-2} 各點亦轉移至相當位置, 又以附圖 III 驗之。長石成分應無大差異。此例係以 $[100]$ 為標準, 其結果如下:

Individual 1 . . . 53% An.

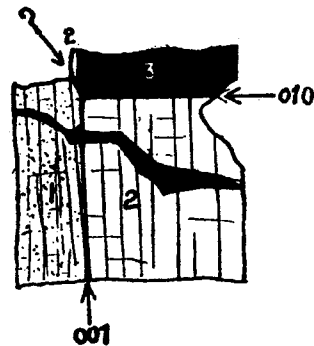
(+) 2 V = 78.5°

Individual 2 . . . 55% An.

(+) 2 V = 75.5°

例二。輝長岩(全上)

長石切面如第廿九圖。



第二十九圖

Individual 1.

N.	16.0°		
H. W.	8.5°	pole = γ	
N.'	107.5°		A. K. 44.5°
H.' W.	12.0°	pole = β	B. K. 299.5°

Individual 2.

N.	40.5°		A. K. 37.5°
H. W.	29.0°	pole = β	B. K. (295° -)
N.'	123.2°		
H.' E.	13.9°	pole = γ	

Individual 3.

N.	100.0°		A. K.	41.6°
H. W.	11.0°	pole = β	B. K.	296.5°
N.'	178.6°			
H.' E.	10.0°	pole = γ		

Composition face of 1 and 2.

N.	249.5°
H. W.	9.0°

Composition face of 2 and 3.

N.	157.7°
H. E.	15.5°

(?) Composition face of 1 and 3.

N.	121.0°
H. W.	1.5°

Cleavages on individual 1.

N.	010	156.5°	N.	001
H. E.		16.0°	H. W.	249.5°

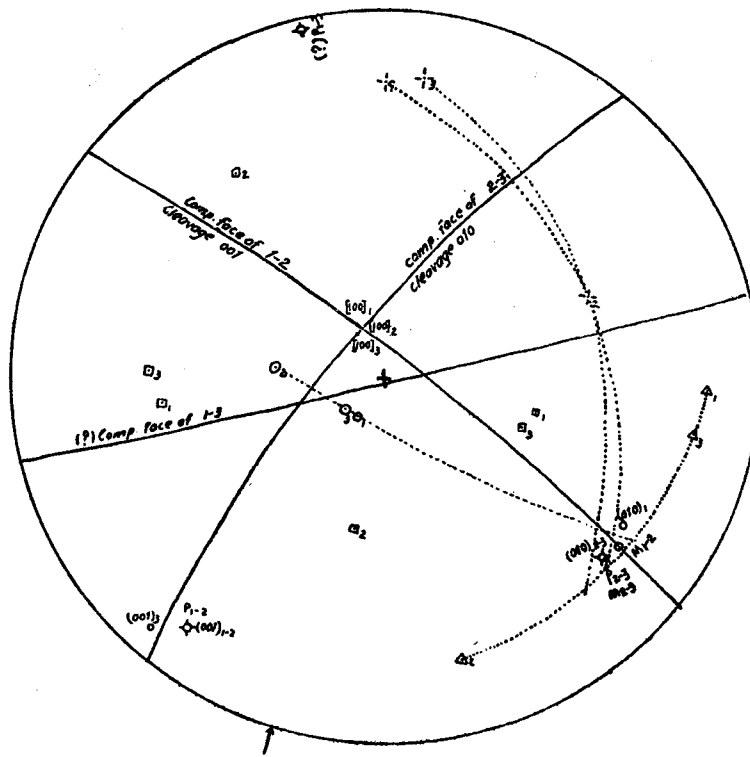
Cleavages on individual 2.

N.	010	157.7°	N.	001
H. E.		15.5°	H. W.	249.5°

Cleavages on individual 3.

N	010	N	001
H. E.	157.7°	H. E.	65.0°
	15.5°		5.0°

投影圖如第卅圖



第三十圖

$$M_{1-2} = \frac{\perp [100]}{(001)} \text{ Manebach-Ala A. 聚合面} = 001, \text{ 雙晶軸} = \perp [100]$$

$$M_{2-3} = (010) \text{ albite.}$$

1 與 3 由圖上不能定其雙晶軸，彼此關係不明。

轉移投影平面，以附圖 III 驗之，以 [100] 為標準其結果如下：

Individual 1 55 % An.

$$(+)\ 2V = 75^\circ$$

Individual 2 53 % An.

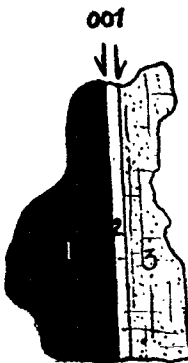
$$(+)\ 2V = (77.5^\circ -)$$

Individual 3 55 % An.

$$(+)\ 2V = 74.9^\circ$$

例三。輝長岩(全前)。

長石切面如第卅一圖。



第三十一圖

Individual 1

N	353.5°		A. K.	338.0°
H. E.	15.5°	pole = β	B. K.	
N'	255.5°			
H'. W.	24.0°	pole = γ		

Individual 2

N	264.0°			
H. W.	24.0°	pole = α		
N'	2.1°			
H'. W.	16.0°	pole = γ		

Individual 3

N	267.1°		A. K.	328.0°
H. W.	10.5°	pole = β	B. K.	
N'	1.0°			
H'. W.	19.5°	pole = γ		

Composition faces of 1 and 2, and 2' and 3.

N	312.5°
H. E.	7.0°

Cleavages on individual 1.

N	010	43.8°	N	001	312.5°
H. W.		25.0°	H. E.		7.0°

Cleavages on individual 2.

N	010	35.5°	N	001	312.5°
H. W.		25.0°	H. E.		7.0°

Cleavages on individual 3.

N	010	34.0°	N	001	312.5°
H. W.		25.0°	H. E.		7.0°

$$M_{1-2} = \frac{\perp [100]}{(001)} \text{ Manebach-Ala. A.}$$

$$M_{2-3} = \frac{[100]}{(001)} \text{ Ala A. 聚合面} = 001, \text{ 雙晶軸} = (100)$$

此長石斑晶微俱環帶構造，但無清晰界限可分，在顯微鏡下只略呈波形消光現象 (wavy extinction)，且 2 部狹隘，旋轉台傾斜過甚，常為其旁兩部之干涉色所遮掩，故所得結果不甚吻合；觀 1 與 2 兩部同名軸之各大圓相交不為一點而成一大三角形可知；但三角形之中心適居於聚合面之投影線上，且距 [100] 為 90°，姑以此作為 1 與 2 之雙晶軸。

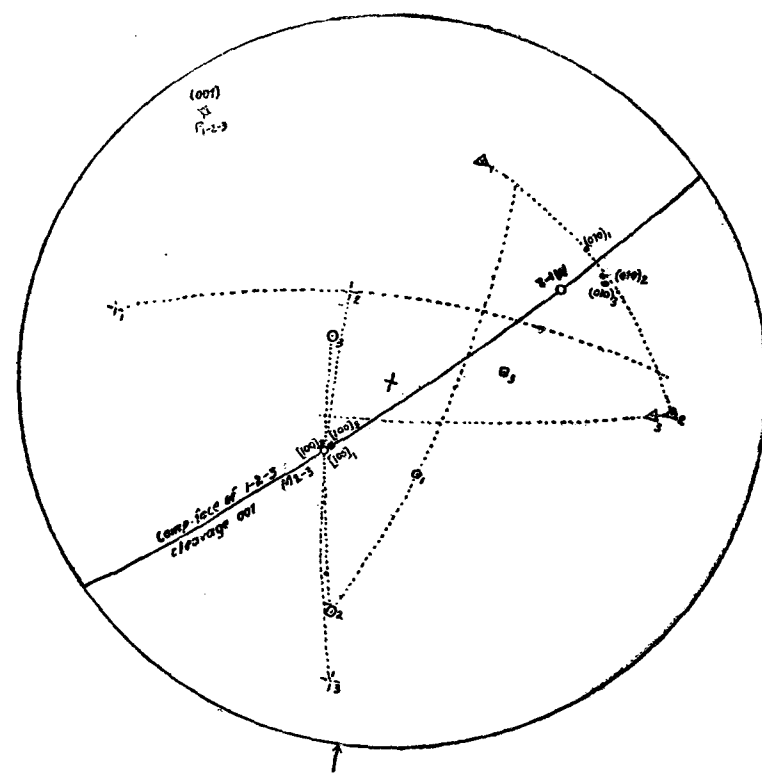
變更投影平面以附圖 III 驗之，以 [100] 為標準其結果如下：

Individual 1 52% An.

Individual 2 60% An. approx.

Individual 3 56% An. approx.

投影圖如第三十二圖



第三十二圖

十一 測驗之差誤及長石鑑別之難易

用旋轉台鑑別礦物，專以消光位為標準；切片當轉至漸近消光位時，光度逐漸減低，吾人在此際常失其區別能力，其完全黑暗位置，目力已不可辨；二三度之差雖云微小，而結果往往謬之千里，且當切片傾側過甚之時，消光位置更難確定。凡此皆差誤之原。欲減少此弊，普通常以石膏片（gypsum plate）插於正交偏光鏡間，因吾人區別顏色之力較為強銳，且同時更可以礦物

旁之空地爲其對照之標準，如第廿九圖，切面之裂縫，爲絕好例證。

以吳氏投影圖爲規度時，大約可有半度之差誤，影響於實際無甚關係。其最重要者爲以附圖 III 確定長石成分之際。在 40% An 以下之各種長石往往甚不易區別，因晶面 (010) 與 [100] 大致與座標平行也。其尤難者，則爲 $[010]$ 與 $\frac{[100]}{(001)}$ 兩種雙晶之區別。故雙晶種類之確定，必須以繪圖方法爲準繩，然後再以附圖 III 驗之，方可免於疑誤。長石成分之區別，前已言在 40% An 以下者，附圖 III 失其精確之程度，學者可將附圖 III 之投影平面轉動，使 (010) 極點移至中心又可得附圖 IV。更使 (001) 極點移至中心又可得附圖 V。此二圖不但精確之程度增高；同時更可以確定雙晶之種類，(註六)此爲萊氏 (Reinhard) 最近之作。

岩石切片內之長石，變化程度劇烈者，往往現有土狀物質而成半透明狀，甚或有爲高岑土微細晶片之散光作用，現有紅褐色者，以鹹性長石爲特甚。凡此情形皆爲測消光時之障礙，故應取其較爲鮮明者用之。長石切面上現有劈紋愈密方向愈多者，則標準點愈多，所得之結果愈爲精確。倘無劈紋可見，取其雙晶軸或聚合面之位置亦可推定。

長石之雙晶過於發達者，往往各部甚狹隘，旋轉台傾側稍大則彼此遮掩不可測定。惟雙晶種類尚可區別其是否爲正雙晶；(註七)如爲正雙晶，當聚合面直立且平行於 N-S 時，雙晶軸必平行於 (E-W) 軸，若轉動 (E-W) 軸兩部之光色變化相同，否則即屬於平行雙晶或混合雙晶。

長石雙晶兩部往往不甚整合，(註七)意即發生雙晶時，其一部分之扭轉未必爲 180° ，往往有 5° 或 6° 之差；遇此情形則雙晶軸位置未可確定矣。故測驗長石之成分，應以其劈面或晶軸爲標準，較爲可靠。

長石晶體之各部，成分未必相同，(註七)以灰鹹系長石爲著。凡環帶構造與波狀消光現象皆爲成分不同之證。常爲測驗之

障礙。但欲研究長石之環帶構造離却旋轉台幾無法可以解決之。

長石成分除環帶構造可以現然表示其部位之變化外，雙晶各部之成分亦往往稍有出入，(註七)鑑定長石亦當注意之。

遇長石無劈紋可見又無雙晶可據以爲標準時，前法皆失其效用。晚近貝氏 (M. Berek) (註三) 以長石干涉色爲標準，亦可確定其成分，惟方法更爲繁複，涉及單色光之預備及切片厚度之測定等手續，茲不具述。

附圖 III 各曲線示長石內所含之灰長石(anorthite)17.分子

Albites	0-5 %	An.
Acid oligoclases	5-15 %	An.
Oligoclases	15-30 %	An.
(basic oligoclases)	(20-25 %)	
Andesines	30-45 %	An.
Labradorites	45-70 %	An.
Bytownites	70-95 %	An.
Anorthites	95-100 %	An.

() 表示晶面極點，與正雙晶之雙晶軸。

[] 表示晶軸 ($[100]=a$, $[010]=b$, $[001]=c$)，與平行雙晶分雙晶軸。

$\frac{[]}{()}$ 表示混合雙晶，上部爲雙晶軸下部爲聚合面之極點。

P.B. Pericline twinning, Becke.

P.W. Pericline twinning, Wulffing.

參考書

- 註一。 Johannsen: Manual of Petrographic Methods.
Chapter XXVIII.
- 註二。 Johannsen: Chapter II.
- 翁文灝: 國立北平研究院院務彙報第一卷第三期。
Penfield: Am. J. Sc., V. XI. No. 61. 1901.
- 註三。 Berek: Mikroskopische Mineralbestimmung mit Hilfe der
Universaldrehtischmethoden.
- Duparc and Reinhard: Memoires de la Société de physique,
Vol. 40. 1924.
- Johannsen: Chapter XXXV.
- Winchell: Elements of Optical Mineralogy. Part I. 1928.
- 註四。 Emmons: The American Mineralogist. Vol. 13, No. 10,
p. 504, 1928; Vol. 14, No. 12, p. 441, 1929.
- 註五。 Wright: Am. Jour. Sci. Vol. XXIV, 1907.
- Berek: 全註三。
- 註六。 Reinhard: Universal Drehtischmethoden, 1931.
- 註七。 Coulson: Records of the Geological Survey of India. Vol.
LXV., Part I, pp. 163-184, 1931.